

УДК 539.184 : 546.668-128

УЗКИЕ НИЗКОЛЕЖАЩИЕ СОСТОЯНИЯ ОТРИЦАТЕЛЬНОГО ИОНА Yb^-

*Е. В. Видолова-Ангелова, Л. Н. Иванов, Е. П. Иванова
и В. С. Летохов*

Рассчитаны положения и оценены ширины низколежащих состояний иона Yb^- . Предсказывается существование набора долгоживущих автоионизационных состояний с энергией возбуждения до 2.5 эВ. Автоионизационный распад некоторых из этих состояний должен сопровождаться интенсивным радиационным распадом, что упрощает их экспериментальное наблюдение. Все узкие состояния иона Yb^- и близких к нему по свойствам ионам тяжелых элементов условно разделены на три группы с ширинами $\Gamma < 10 \text{ см}^{-1}$, $\Gamma < 1 \text{ см}^{-1}$, $\Gamma < 0.01 \text{ см}^{-1}$. Для иона Yb^- предсказывается существование одного anomalно узкого состояния с $\Gamma < 0.01 \text{ см}^{-1}$. Указаны регулярные физические причины существования состояний каждой из групп в ионах тяжелых элементов.

В в е д е н и е

Известно, что спектры отрицательно заряженных атомных ионов очень бедны. Для большинства элементов известно не более одного связанного состояния однозарядного иона. Возможность существования хотя бы одного возбужденного связанного состояния отрицательного иона для конкретного элемента всегда представляет предмет особого исследования.

Известно, однако, что кроме связанных состояний отрицательные ионы могут обладать также автоионизационными состояниями (АС) [1-7]. Если распад АС запрещен какими-либо правилами отбора, то такое состояние является квази-стационарным и может проявляться в спектрах как связанное. Попытки наблюдать такие состояния экспериментально до недавнего времени оканчивались неудачей [5]. Недавно Бунге рассчитал [6] характеристики квазистационарных состояний $1s2s2p^2 \ ^5P$ и $1s2r^3 \ ^5S$ иона Li^- . Эти уровни лежат ниже уровней $1s2s2p$ и $1s2r^2$ нейтрального атома. Автоионизационный распад по схеме $1s2l_1 2l_2 2l_3 \rightarrow 1s^2 2l_1 + kl_4$ запрещен в нерелятивистском пределе условием сохранения полного спинового момента системы. В [7] экспериментальным методом пучок-фольга наблюдался радиационный переход между этими состояниями. Это — первое наблюдение радиационного перехода между возбужденными уровнями атомного иона.

Однако состояния такого типа все же редки для легких ионов, а энергия возбуждения довольно велика, что затрудняет их использование в лазерной спектроскопии.

В наших предыдущих работах [8-10] указывалось, что тяжелые атомы обладают богатым набором узких АС, связанных с возбуждением валентной оболочки. Ширины таких состояний быстро падают с ростом атомного номера z ($\Gamma \sim z^{-2}$). Так, для атома Yb ширины АС с двукратно возбужденной валентной оболочкой $\Gamma < 10 \text{ см}^{-1}$. Существует целый набор состояний, распад которых обусловлен только релятивистскими эффектами, и для них $\Gamma < 1 \text{ см}^{-1}$. Положения и ширины этих состояний были рассчитаны теоретически [8]. Результаты расчета подтверждены экспериментально [9, 10]. Кроме этих АС для тяжелых атомов предсказывается наличие anomalно узких АС с шириной $\Gamma < 10^{-2} \text{ см}^{-1}$. Особая стабильность этих состояний может быть связана с тем, что их распад обусловлен только релятивистской связью с континуумом. Другой причиной

где $E(nl)$ — энергия ионизации иона Yb^+ в состоянии $4f^{14}nl$. Эта величина вычисляется по экспериментальным данным [11]. Члены $M^{(2)}$, $M^{(3)}$ представля-

$$(2) \quad M^{(1)} = \epsilon(n_1l_1) + \epsilon(n_2l_2) + \epsilon(n_3l_3),$$

электронного состояния $n_1l_1n_2l_2n_3l_3$ энергий не взаимодействующих друг с другом валентных электронов. Для трех- лишь уровень энергии не зависит от числа валентных электронов и определяется. Более того, эта величина не зависит от состояния валентной оболочки. Здесь $M^{(0)}$ — энергия остова, не зависит от состояния валентной оболочки.

$$(1) \quad M^{*n} = M^{(0)2n} + M^{(1)2n} + M^{(2)2n} + M^{(3)2n}$$

энергетической матрицы представляются в виде считанной между всеми рассмотренными здесь АС. Матричные элементы M^{*n} между точной схемой проводится при диагонализации энергетической матрицы, рас- ставления i -схемы связывания одноэлектронных моментов. Переход к про- с модельным нулевым приближением. Расчет ведется с самого начала в пред- Как и в [8], используется метод релятивистской теории возмущений (ТВ)

Метод расчета

только верхние границы. цинных ширины является стандартной и описана в [8]. Для ширины указаны как структура термов; здесь ошибка — около 5%. Схема расчета атомноиза- вены. Ошибка в энергиях переходов порядка 10^8 см⁻¹. Точнее рассчитана тон- Расчеты расчета энергии переходов следует рассматривать как качест- чением. Это упрощает их экспериментальное наблюдение.

Атомноизационный распад некоторых из состояний сопровождается излу- автомноизационно.

лежат выше основного состояния $6s^2$ нейтрального атома и могут распадаться состоянии иона относительно диссоциации. В то же время все эти состояния ниже состояний $6s5d$ атома Yb . Этим гарантирована устойчивость указанных иона Yb^+ лежат ниже состояний $6s6p$ атома Yb , а часть состояний $6s6d$ иона лежат состояние стационарно. Большинство состояний $6s6p^2$ и состояний $6s6p5d$ Расчет показывает, что основным является состояние $6s^26p$ иона Yb^+ . Это типа мы будем говорить, что они неустойчивы по отношению к диссоциации

качественных исследований наш метод вполне применим. О состояниях третьего связанное или атомноизационное состояние рассматриваемого типа. Для таких результатов дают лишь возможность определить, существуют ли вообще у системы непрямая к исследованию состояния рассевания. В этом случае полученные ния расевания. Вообще говоря, метод расчета, применяемый в настоящей работе, ни $6snl^2$ нейтральный атом не обладает электронным средством. Это — состоя- ното состояния $6snl_1$ или $6snl_2$, т. е. либо в состоянии $6snl_1$, либо в состоя- распад $6sn_1l_1n_2^2 \rightarrow 6s^2 + kl$. Состояния третьей группы лежат выше возбужден- ний $6sn_1l_1$, $6sn_2l_2$ атом, т. е. атом Yb в состояниях $6sn_1l_1$ и $6sn_2l_2$ обладает группой лежат выше основного состояния $6s^2$, но ниже возбужденных состоя- группы атома Yb . Это — связанные состояния иона Yb^+ . Состояния второй Расчет показывает, что все состояния $6sn_1l_1n_2^2$ можно разделить на три

тые электронные оболочки, в том числе оболочку $4f^{14}$. ривается как система трех электронов над остовом. Остов включает все замкну- В настоящей работе мы предприняли расчет положений и ширины всех АС лых атомов, остаточная в силе и для их отрицательных резонансов также которые обуславливают болаты спектр узких низколежащих резонансов также зонансом полуполосе двух или трех лазерных фотонов. Физические причины, на д портом ионизации. Они легко возбуждаются при последовательном ре- трехэлектронный распад. Все эти состояния лежат в области ниже 15000 см⁻¹ особой стабильности АС может являться то, что энергетически разрешен только

ляют взаимодействие валентных электронов друг с другом как непосредственное, так и через поляризуемый остов. Во взаимодействии валентных электронов друг с другом учтена только кулоновская часть. Релятивистские эффекты учтены в волновых функциях и экспериментальных одноэлектронных энергиях $\epsilon(nlj)$, составляющих $M^{(1)}$. Матрица $M^{(2)}$ включает двухэлектронные эффекты, $M^{(3)}$ — трехэлектронные. Известно, что матрица двухэлектронного взаимодействия в трехэлектронной системе $M^{(2)}\langle 3 \rangle$ выражается через матрицу двухэлектронного взаимодействия в двухэлектронной системе $M^{(2)}\langle 2 \rangle$

$$M^{(2)}\langle 3 \rangle = 3\Gamma'(3|2)M^{(2)}\langle 2 \rangle\Gamma(3|2), \quad (3)$$

где Γ — матрица генеалогических коэффициентов, Γ' — транспонированная матрица. Матрица $M^{(2)}$ была построена ранее при расчете спектра нейтрального атома Yb. Заранее были вычислены таблицы генеалогических коэффициентов электронных состояний в представлении jj -связи с неоднородными конфигурациями.

Воспроизведем кратко процедуру расчета матричных элементов $M_{ik}^{(2)}\langle 2 \rangle$ для атома Yb с двумя валентными электронами [8]. В $M^{(2)}\langle 2 \rangle$ полностью учтен первый порядок ТВ. Поправка первого порядка ТВ выражается стандартным образом через релятивистские интегралы Слэтера F_k и G_k . Среди поправок высших порядков можно выделить поправки, связанные с поляризацией остова, и поправки высших порядков к прямому взаимодействию валентных электронов. Поляризация остова учтена модификацией потенциала межэлектронного взаимодействия. Это привело только к переопределению радиальных интегралов в выражении для поправки первого порядка. Поправки высших порядков учтены эффективно: ко всем матричным элементам $M_{ik}^{(2)}$ была добавлена поправка

$$\delta M_{ik}^{(2)} = \alpha [M_{ik}^{(2)}]^2 / \epsilon_{>}, \quad (4)$$

где $\epsilon_{>}$ — энергия электрона с более диффузной орбиталью. Подгоночный параметр α , общий для всего спектра, определялся по экспериментальной энергии основного состояния. Выражение (4) имитирует поправку второго порядка ТВ, связанную с экранировкой поля остова одним из валентных электронов.

Трехэлектронные взаимодействия впервые проявляются во втором порядке ТВ. Мы считаем, что вклад трехэлектронного взаимодействия $M^{(3)}\langle 3 \rangle$ можно учесть как поправку к двухэлектронному взаимодействию. Эта поправка связана с экранированием потенциала остова третьим электроном. Рассчитывая матрицу двухэлектронного взаимодействия $M^{(2)}\langle 3 \rangle$ в таком экранированном потенциале, эффективно учтем вклад трехэлектронных взаимодействий. Можно показать, что в этом приближении

$$M^{(3)}\langle 3 \rangle = 3\Gamma'(3|2)\delta M^2\langle 2 \rangle\Gamma(3|2). \quad (5)$$

Поправка $\delta M^{(2)}\langle 2 \rangle$ рассматривалась выше (4). Таким образом, в выбранном приближении для трехэлектронной системы не нужно производить никаких новых расчетов динамических частей матричных элементов. Необходимо лишь построить энергетическую матрицу с помощью формул (1)–(4) и диагонализировать ее. Заранее можно сказать, что одноэлектронные, двухэлектронные и трехэлектронные вклады в полную энергию состояний равны в среднем — 230000, +140000 и —15000 см⁻¹. Отметим, что учет трехэлектронных взаимодействий оказался существенным для определения устойчивости состояний по отношению к диссоциации иона Yb⁻.

Ширины уровней представляются как мнимая часть энергии. Мнимые части имеются в матрицах $M^{(2)}$ и $M^{(3)}$. Для оценки ширин узких состояний с $\Gamma < 1$ см⁻¹ необходимо рассчитывать мнимые части энергетической матрицы с полным оператором «межэлектронного взаимодействия»

$$e^{i\omega r_{12}} (1 - \alpha_1 \alpha_2) / r_{12}. \quad (6)$$

Вклад второго члена в (6) выражается через радиальные интегралы с малыми компонентами дираковских одноэлектронных функций. Для состояний

с $\Gamma < 1$ см⁻¹ вклада первого и второго члена в (6) одного порядка. Это связано со значительной взаимной компенсацией вклада радиальных интегралов с боль-

Обсуждение результатов

В табл. 1 приведены экспериментальные энергии двухэлектронных состояний атома Yb [11]. Все энергии отсчитаны от энергии истока $4f_{14}$. Из табл. 1 видно, что устойчивыми по отношению к диссоциации являются все возбужденные состояния $6s^2nl$ с энергией $E < -148591$ см⁻¹, все состояния $6s6p^2$, $6s6p^2$ с энергией $E < -131303$, состояния $6s5d^2$ с энергией $E < -124102$ см⁻¹. Для некоторых из возбужденных уровней энергии оказалась выше предела диссоциации.

В табл. 2 приведены результаты расчета энергии состояний $6s^2p$, $6s^25d$ в табл. 3 — результаты расчета двухэлектронных состояний Yb с возбужденным $6s$ электронами. Автоионизационные ширины этих состояний $\Gamma < 10$ см⁻¹. В новом состоянии запрещен распад двухэлектронных состояний $6s6p^2$ L , $6s5d^2$ L в ос- лишь при учете релятивистского смещения термов. Это уменьшает ширины уровней примерно на порядок. Однако для состояний $6s5d^2$ F энергетически возмо-

Таблица 1

Экспериментальные энергии E связанных состояний атома Yb [11], отсчитанные от энергии истока $4f_{14}$

Конфигурация	J	E , см ⁻¹	Конфигурация	J	E , см ⁻¹
$6s^2$	0	148591	$6s5d$	1	124102
	0	131303		2	123839
	1	130599		2	123320
	2	128881		3	120913
	1	123523			

жен автоионизационный распад $6s5d^2 \rightarrow 6s6p + kf$ в возбужденное состояние $6s6p$ с последующим радиационным расходом $6s6p \rightarrow 6s^2$. Аналогично в релятивистском пределе запрещен распад состояний $6s6p^2$ L с четным L . Энергии квартовых состояний даны в табл. 4, их ширины $\Gamma < 1$ см⁻¹. Автоионизационный распад состояния $6s6p^2$ $4F_{9/2}$ запрещен во всех порядках ТВ, если учитывать только кулоновскую часть взаимодействия валентных электронов между собой. Распад этого состояния обусловлен нерелятивистским смещением его непосредственно с континуумом. Соответствующий матричный элемент рассчитывается с помощью малых компонент функции Дирака для орбиталей валентных электронов. Оценочный расчет показал, что $\Gamma(6s6p^2$ $4F_{9/2}) < 0.01$ см⁻¹.

Таблица 2

Энергии возбужденных $6s^26p$ и $6s^25d$ состояний атома Yb, отсчитанные от энергии истока $4f_{14}$

Конфигурация	J	E , см ⁻¹	Конфигурация	J	E , см ⁻¹
$6s^26p$	1/2	159600	$6s^25d$	—	—
	3/2	147200		5/2	146000 *

Примечание. * Состояния неустойчивы по отношению к диссоциации

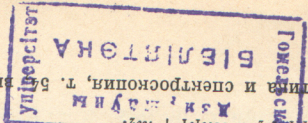


Таблица 3

Энергии дублетных автоионизационных состояний иона Yb^- ,
отсчитанные от энергии остова

Конфигурация	Терм	J	$-E, \text{ см}^{-1}$	$\Gamma, \text{ см}^{-1}$	Конфигурация	Терм	J	$-E, \text{ см}^{-1}$	$\Gamma, \text{ см}^{-1}$
$6s6p^2$	2P	1/2	137600	< 1	$6s6p5d$	2F	5/2	136600	~ 10
		3/2	135700	~ 10			7/2	134100	~ 10
	2D	3/2	136000	~ 10		2P	1/2	133200	~ 10
		5/2	135600	~ 10			3/2	134700	~ 10
$6s5d^2$	2S	1/2	130100 *	< 10		2D	3/2	132900	~ 1
		5/2	128600				5/2	128900 *	
	2F	7/2	83300 *			2F	5/2	129700 **	
		7/2	123600 **				7/2	126100 *	
	2G	9/2	124400 **			2P	1/2	125500 *	
		3/2	121900 *				3/2	124300 *	
	2D	5/2	120200 *		2D	3/2	120300 *		
		1/2	120500 *			5/2	98300 *		
	2P	3/2	120100 *						
		1/2	110100 *						

Примечание. * Состояния неустойчивы по отношению к диссоциации $6sn_1l_1n_2l_2 \rightarrow 6sn_1l_1 + kl_2$.
** Точность расчета не позволяет определить устойчивость состояния по отношению к диссоциации.

Таблица 4

Энергии квартетных автоионизационных состояний, отсчитанные от энергии остова $4f^{14}$

Конфигурация	Терм	J	$-E, \text{ см}^{-1}$	$\Gamma, \text{ см}^{-1}$	Конфигурация	Терм	J	$-E, \text{ см}^{-1}$	$\Gamma, \text{ см}^{-1}$
$6s6p^2$	4P	1/2	143900	< 1	$6s6p5d$	4F	3/2	140200	~ 1
		3/2	143000	~ 1			5/2	138900	~ 1
		5/2	141600	~ 1		7/2	140000	~ 1	
$6s5d^2$	4F	3/2	124500 **	< 1		4D	9/2	136000	~ 0.01
		5/2	123200 **				1/2	136500	~ 1
		7/2	119300 *				3/2	136400	~ 1
		9/2	118500 *				5/2	134000	~ 1
	4P	1/2	118900 *			4P	7/2	132600 **	—
		3/2	118800 *				1/2	128400 **	—
		5/2	91400 *				3/2	128400 **	—
					5/2	110600 *	—		

Примечание. * Состояния неустойчивы по отношению к диссоциации $6sn_1l_1n_2l_2 \rightarrow 6sn_1l_1 + kl_2$.
** Точность расчета не позволяет определить устойчивость состояния по отношению к диссоциации.

Литература

- [1] A. K. Bhatia. Phys. Rev., *A9*, 9, 1974.
- [2] C. Foglia. Phys. Lett., *A46*, 277, 1973.
- [3] C. A. Nicolaides, D. R. Beck. J. Chem. Phys., *66*, 1982, 1977.
- [4] A. V. Bunge, C. F. Bunge, Phys. Rev., *A19*, 452, 1979.
- [5] B. Hird, S. P. Ali. Can. J. Phys., *57*, 867, 1979.
- [6] C. F. Bunge. Phys. Rev., *A22*, 1, 1980.
- [7] S. Mannervik, G. Astner, M. Kisielinski. J. Phys., *B*, *13*, L441, 1980.
- [8] Е. П. Видолова-Ангелова, Л. Н. Иванов, Е. П. Иванова. Опт. и спектр., *50*, 243, 1981.
- [9] Г. И. Веков, Е. П. Видолова-Ангелова, Л. Н. Иванов, В. С. Летохов, В. И. Мишин. ЖЭТФ, *80*, 866, 1981.
- [10] G. I. Beikov, E. P. Vidolova-Angelova, L. N. Ivanov, V. S. Letokhov, V. I. Mishin. Opt. Commun., *35*, 194, 1980.
- [11] W. C. Martin, R. Zalubas, L. Hagan. Atomic Energy Levels. The rare-earth elements. NBS, Washington, 1978.

Поступило в Редакцию 24 июня 1981 г.